

$\leq 0,1 \frac{\text{rad}}{\text{sec}^2}$  si saturatie la acceleratii  $\geq 10 \frac{\text{rad}}{\text{sec}^2}$ . Se poate folosi o masa perfect echilibrata axata prin doua lame de resort incruziate (figura 20), care formeaza un dispozitiv elastic. Autorizarea este de tipul Curie, cu aer. Forta elastica este creata de un fir de elastometru. Acceleratia se reduce prin variația rezistenței acestui fir.

ECE - element captator si emitor;

EC - element captator cilindric.

Domeniul de măsurare al unui astfel de traductor cuprins in plaja  $5 - 500 \frac{\text{rad}}{\text{sec}^2}$ . Citirea informației se face cu puncte rezistive de obicei de tip Wheatstone, pentru care:

$$\frac{R_A}{R_2} = \frac{R_B}{R_{AB}}$$

### 2.1.1.5. Traductorul inductiv pentru lochuri

Lochul este un instrument la bordul navei destinat determinarii vitezei acesteia. Lochurile echipate cu traductoare de inducție determină viteza relativă a navei fata de apa de mare. Traductorul propriu zis (figura 21) este alcătuit dintr-un tub realizat din material izolant 1 pe care s-au aplicat doi electrozi metalici 3. În exteriorul tubului se află un miez magnetic 2 pe care se montează o înfrângere 5 alimentată în curent alternativ. Această traductor transformă viteza navei fata de apa sau pe cea a apel fata de nave intr-o tensiune electromotoră induată, ce se aplică unui instrument care are scale gradate direct în noduri.

Tubul izolant 1 este pus în legătura cu apa, fiind aspirat paralel cu planul longitudinal al navei. La depăsarea navei cu o viteză  $v$  fata de apa, prin tub va circula un curent de apa cu aceeași viteză ( $v$ ). Moleculele de apa 4 aflate în miscare fata de campul magnetic produs de bobina 5 de pe miezul 2 formează conductoare elementare în care se induce o tensiune proporțională cu fluxul inductor și cu viteza de deplasare. Această tensiune inducă  $U_e$ , obtinută de la cele două electrozi 3, este date de relația:

$$U_e = k \bullet v = k_e v$$

unde:

$k_e$  - factor de proporționalitate;

• - flux inductor, constant;

$v$  - viteza.

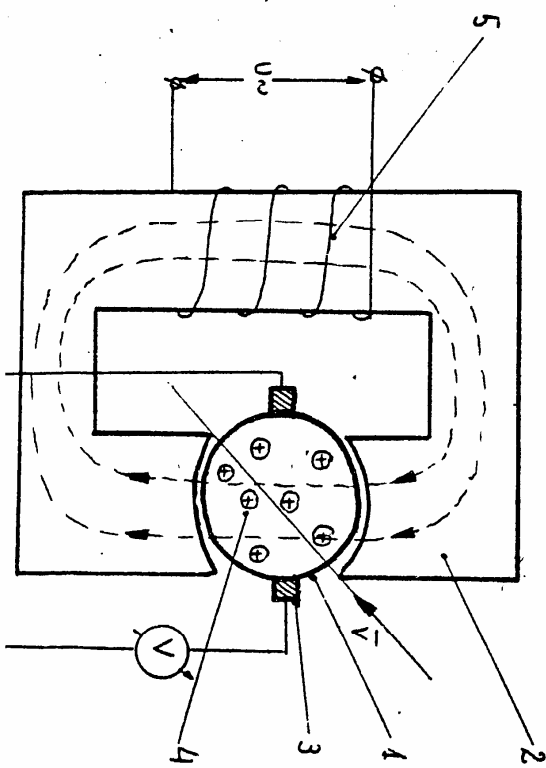
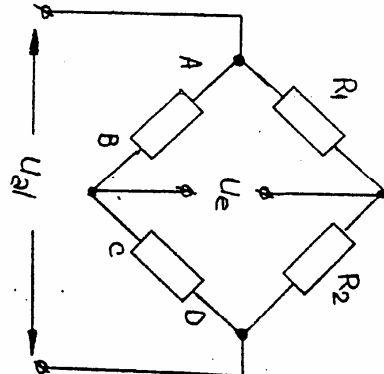
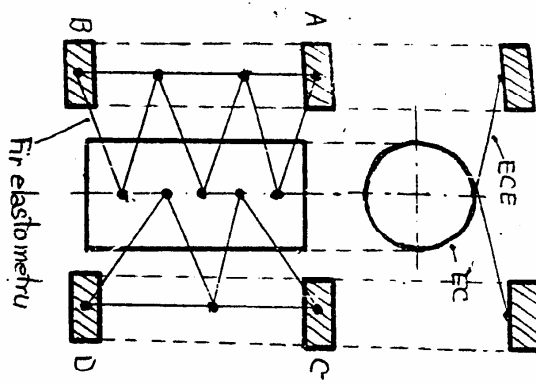


Fig. 20



Realizarea tehnologica a tructoerului inductiv pentru lochuri (figura 22), este prezentata cu elementele de pe desen, care sunt:

- 1 - alimentare;
- 2 - sennal de ieșire;
- 3 - corpul tructoerului;
- 4 - electromagnet;
- 5 - electroz.

La mișcarea fluxului de spație de mără, care este un mediu conductor electric, apare un camp electric și expresia este:

$$\vec{E} = \vec{V} \times \vec{B}$$

unde:

- $\vec{V}$  - vectorul vitezei al fluidului;

- $\vec{B}$  - vectorul inducției magnetice create de electromagnet.

La electrozii aflați în contact cu spație de mără apar cîteva tensiuni:

$$U = \int_{\Gamma} \vec{B} \cdot d\vec{l} = \int_{\Gamma} (\vec{V} \times \vec{B}) \cdot d\vec{l}$$

unde L reprezintă distanța între cele două electrozi.

Electromagnetul este alimentat cu un curent alternativ de forma:

$$I_1 = I_m \sin \omega t$$

Tensiunea rezultată la electrozi se obține astăzi din cauza depăsirii cu o anumită viteză a fluxului de spație cat și datorita variației lui  $\vec{B}$ . Rezulta că tensiunile obținute la bornele de ieșire ale tructoerului este data de relația:

$$U_s = K_1 H V \sin \omega t + K_2 \omega H \cos \omega t$$

în care:

- $K_1$ ,  $K_2$  - constante constructive ale tructoerului;
- $H$  - intensitatea câmpului magnetic;
- $L$  - distanța între electrozi;
- $V$  - viteză de deplasare a fluxului de spație.

Prin urmare, reprezintă sennalul util ce depinde de viteză de deplasare a fluxului de spație. Această sennal este în fază cu tensiunea de alimentare a electromagnetului.

$$K_1 H V \sin \omega t = U_o \sin \omega t$$

Al doilea termen:  
este un sennal defazat cu 90 grade față de sennalul util și este dat de următoarea expresie:

dat de următoarea expresie:

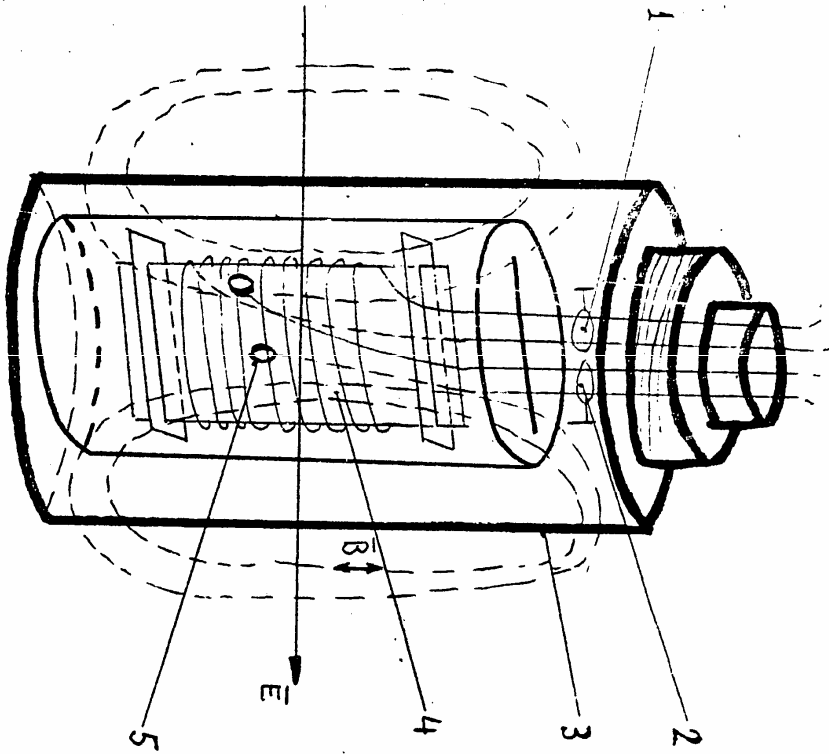
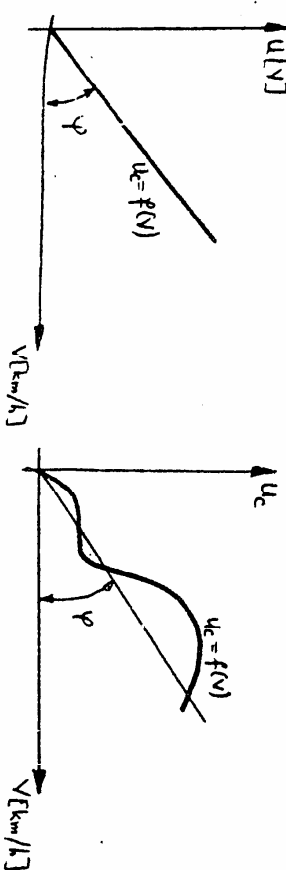


Fig. 22

(2)

$K_2 \omega H \sin \omega t = U_{\text{vara}} \cos \omega t$

este dat de viteza de deplasare a apel.

$$U_C = f(v).$$

Graficele variației liniare teoretice a tensiunii de ieșire a trăectorului inductiv în funcție de viteza și a variației reale a tensiunii de ieșire a trăectorului inductiv funcție de viteze sunt prezentate în figura 23. Pană caracteristici este:

$$S' = \tan \phi = \frac{U_0}{v} \quad [\text{mV/kn}]$$

kn - nod maritim.

Viteza relativă dintre fluxul de apă și navea este acordată cu viteza navei făcă de suprafață apel. Nelinearitatea seanelului real livrat de trăector spore detoritate caracteristicilor hidromecanice ale navei, locului de amplasare a lochurilor, condițiilor de mediu etc.

Pentru eliminarea acestor nelinearități se utilizează un senzor de corecție. De asemenea este necesara eliminarea seanelului parazit  $U_{\text{vara}}$ , defazat cu 90 grade față de seanelul util. Erorile remenente ale lochului, după reglarea acestuia, nu depășesc valoarea date de relație:

$$\Delta V_{\text{loch}} = \sqrt{(\Delta V'_{\text{loch}})^2 + (K_s V)^2 + 0,005}$$

$\Delta V'_{\text{loch}}$  - eroarea inexactă a lochului;

$V$  - viteza navei;

$K_s$  - coeficient ce caracterizează precizia de determinare a vitezelor relative a navei;

$0,005$  - eroarea limită de aproximare a panării caracteristicilor trăectorului în domeniul vitezelor pozitive.

Eroarea lochului după distanța parcursă  $A_s$  în gama vitezelor  $10 \dots 30$  noduri nu depășește valoarea date de relație:

$$\Delta_s = \sqrt{\left( \frac{\Delta V_{\text{loch}}}{V} \right)^2 + S \cdot 10^{-4} + 0,002}$$

unde s reprezintă distanța parcursă în mile marine.

#### 2.1.1.7. Trăectorul piezoelectric de ultrasunete

Este realizat din cristale naturale sau artificiale de cuart, sare de Seignette, praf de amoniac etc. care au proprietăți piezoelectrice. Dacă unor placute din aceste materiale li se aplică forță de deformare mecanică, pe fațele opuse ale cristalului apar sarcini electrice de semne contrare,

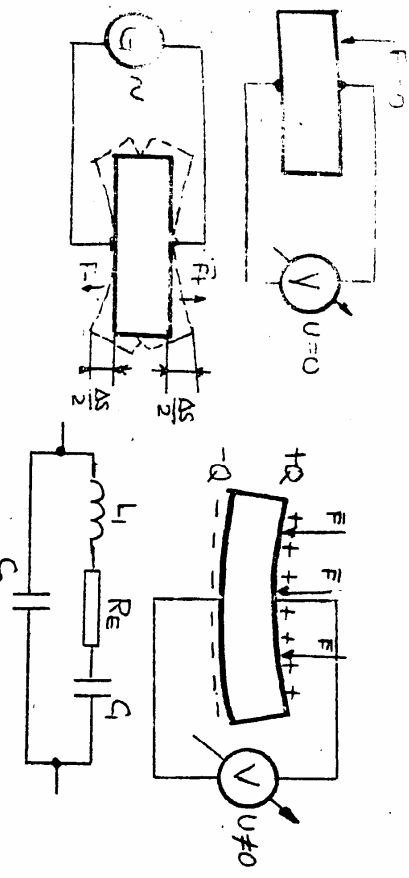
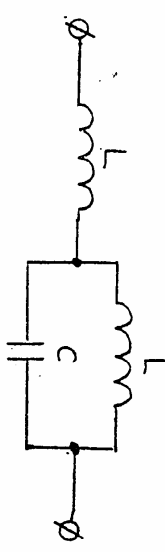


Fig. 23b



viteza de ieșire a trăectorului inductiv în funcție de viteza și a variației reale a tensiunii de ieșire a trăectorului inductiv funcție de viteze sunt prezentate în figura 23. Pană caracteristici este:

$$S' = \tan \phi = \frac{U_0}{v} \quad [\text{mV/kn}]$$

kn - nod maritim.

Viteza relativă dintre fluxul de apă și navea este acordată cu viteza navei făcă de suprafață apel. Nelinearitatea seanelului real livrat de trăector spore detoritate caracteristicilor hidromecanice ale navei, locului de amplasare a lochurilor, condițiilor de mediu etc.

Pentru eliminarea acestor nelinearități se utilizează un senzor de corecție. De asemenea este necesara eliminarea seanelului parazit  $U_{\text{vara}}$ , defazat cu 90 grade față de seanelul util. Erorile remenente ale lochului, după reglarea acestuia, nu depășesc valoarea date de relație:

$$\Delta V_{\text{loch}} = \sqrt{(\Delta V'_{\text{loch}})^2 + (K_s V)^2 + 0,005}$$

$\Delta V'_{\text{loch}}$  - eroarea inexactă a lochului;

$V$  - viteza navei;

$K_s$  - coeficient ce caracterizează precizia de determinare a vitezelor relative a navei;

$0,005$  - eroarea limită de aproximare a panării caracteristicilor trăectorului în domeniul vitezelor pozitive.

Eroarea lochului după distanța parcursă  $A_s$  în gama vitezelor  $10 \dots 30$  noduri nu depășește valoarea date de relație:

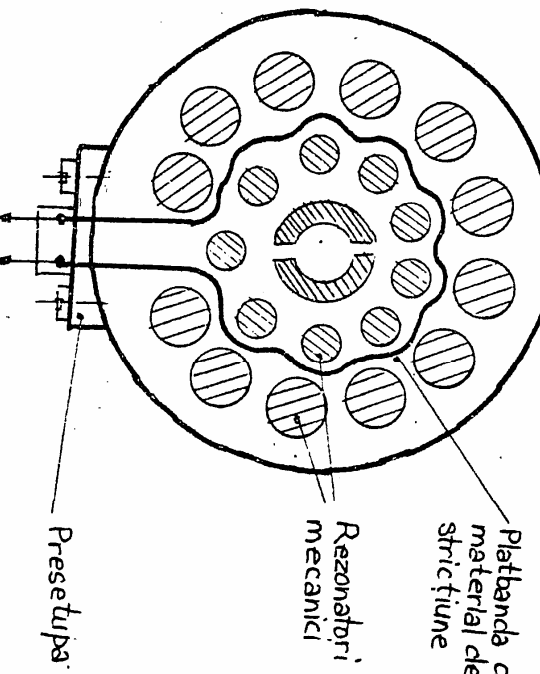
$$\Delta_s = \sqrt{\left( \frac{\Delta V_{\text{loch}}}{V} \right)^2 + S \cdot 10^{-4} + 0,002}$$

unde s reprezintă distanța parcursă în mile marine.

#### 2.1.1.7. Trăectorul piezoelectric de ultrasunete

Este realizat din cristale naturale sau artificiale de cuart, sare de Seignette, praf de amoniac etc. care au proprietăți piezoelectrice. Dacă unor placute din aceste materiale li se aplică forță de deformare mecanică, pe fațele opuse ale cristalului apar sarcini electrice de semne contrare,

Fig. 23c



si deci o tensiune electrică (figura 23b). Învers, dacă

cristalului i se aplică o tensiune electrică, atunci pe fețele opuse apar forte mecanice care duc la deformarea cristalului.

Sistemul mecanic, construit dintr-o placă piezoelectrică, electrozi de legătură și suport, se poate utiliza ca rezonator piezoelectric. La alimentarea acestuia cu o tensiune având o anumită frecvență, placă piezoelectrică se va deforma cu o frecvență deasupra de frecvența tensiunii de alimentare. În contact cu apa, placă piezoelectrică oscilează cu o frecvență de domeniul ultrasunetelor. Frecvența proprie de oscilație a placii piezoelectrice este:

$$f = \frac{B}{2L} \sqrt{\frac{E}{\rho}}$$

unde:

$E$  - lungimea placii piezoelectrice;

$B$  - modulul de elasticitate al lui Young;

$n = 1, 2, 3, \dots$  correspunzător fundamentaliei sau armonicilor (ordinul armonicilor);

$\rho$  - densitatea materialului.

**Scheme electrice echivalente** (fig. 23b) au frecvențe de rezonanță serie:

$$f_s = \frac{1}{2\pi\sqrt{L_1 C_1}}$$

iar cea derivată:

$$f_d = \frac{1}{2\pi\sqrt{L_1 \frac{C_1 C_0}{C_1 + C_0}}}$$

dar

$$\frac{C_1}{C_0} \ll 1 \Rightarrow \frac{f_d - f_s}{f_s^2} = \frac{C_0}{C_1}$$

adice fa si  $f_d$  sunt de valori apropiate.

Valoile practice sunt:

$$L_1 \in 0,1 \dots 100 \text{ H}$$

$$C_1 \in 0,1 \dots 10 \text{ pF}$$

$$R_x = 10^3 \Omega$$

Parametrii electrii echivalenți ai rezonatorului

Piezoelectric F.i. fi modificăți dacă în serie cu el se înălță se montează o inducță, respectiv un condensator. Efectele maximă a rezonatorului se obține la egalitatea între rezonanță și de oscilație proprie. În cazul rezonanței rezonatorului piezoelectric ca receptor, deformările placutei datorate undelor ultrasuonore reflectate se traduc prin semnale electrice care apar la electrozi rezonatorului. Dificultatile construirii unor tructoare piezoelectrice pentru ultrasuonete constau în realizarea unor placi piezoelectrice de dimensiuni mari și rezistențe mecanice slabe.

### 2.1.1.8. Tructoare magnetostrictive pentru ultrasuonete

Fenomenul de magnetostricție constă în modificarea dimensiunilor unei bări din material feromagnetic pleasat într-un camp magnetic constant sau variabil, paralel cu axa longitudinală a bării (figura 23c). Efectul magnetostrictiv depinde de temperatură: deformarea relativă  $\frac{\Delta L}{L}$  scade cu creșterea

temperaturii, anulându-se la o anumită temperatură ce caracterizează fiecare material. De asemenea, magnetostricția depinde de natura materialului din care este confecționată bara (fier, nichel, cobalt, aliaje feromagnetice). Dacă bara nu are magnetism remanent, frecvența vibrărilor este dublul frecvenței orientării campului magnetic și nu depinde de Deformarea bării este dată de relația:

$$d = Kx^3 \cos^3 \omega t = \frac{Kx^3}{2} (1 + \cos 2\omega t)$$

în care termenii reprezintă:

$d$  - deformarea bării;

$K$  - coeficient de proporționalitate;

$x$  - inducția campului magnetic;

$\omega$  - pulsulația campului magnetic;

Se observă apariția unui termen de frecvență dublu adice fa si  $f_d$  sunt de valori apropiate.

Valoile practice sunt:

$$Z_{magn} = \frac{\omega^2 L^2}{\omega^2 LC - 1} < Z_{piezo}$$

(impedanța rezonatorului magnetostrictiv este mai mică decât a celui piezoelectric).

Lumină

(5)

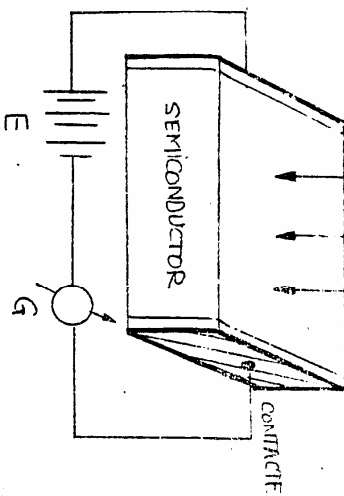


Fig. 26

Constituente:  $\text{CdS}$ ;  $\text{ZnO}$ ;  $\text{ZnS}$ ;  $\text{CdSe}$ ;  $\text{CdTe}$ .

Principiul parametri ai fotorezistorelor sunt:

- rezistență electrică la iluminare nula (intuneric) - de cîndul asemănătorilor de mecanici;
- tensiunea maximă la borne:  $U_{\text{m}} > 100 \text{ V}$ ;
- puterea dissipată maximă:  $P_{\text{d max}} > 100 \text{ mW}$ ;
- sensibilitate la lumină;

$$\frac{\Delta I}{\Delta E} |_{\text{rest.}} = 1 \dots 10 \text{ [mA/lx]}$$

Variori mai mari se înregistrează pentru iluminări de intensitate mai mică; sensibilitatea spectrală - dependenta de natura materialului.

### 2.2.3. Celula fotovoltaică

Acest tip de dispozitiv optoelectric precinta o joncțiune  $\text{P} - \text{N}$ , funcționarea lui facându-se pe baza efectului fotovoltaic. Aria suprafetei frontale neacoperite de contactul metallic (numita și arie activă) poate varia între cîteva milimetri pătrați și cîteva centimetri pătrați (figura 26). Daca suprafața activă este iluminată, la bornele celulei fotovoltaice apare o tensiune electrică, contactul regiunii  $\text{P}$  constituind polul pozitiv, iar cel al regiunii  $\text{N}$  - polul negativ.

Tensiunea care apare la bornele celulei se obține prin polarizarea directă a dispozitivului. Conectarea unei rezistențe electrice între terminalurile celulei fotovoltaice (figura 27), va da posibilitatea electronilor în exces din regiunea  $\text{N}$  să se deplaseze prin circuitul exterior spre regiunea  $\text{P}$ , unde va fi considerat în acest fel unui curent electric.

Acest curent, datorat iluminării (numit fotocurent) este de sens opus curantului ce apare în circuit în cazul polarizării externe cu o surse externă. Astfel, respectând convenția din cînd diodei semiconductoare unde curentul direct era considerat pozitiv, într-o diagramă curent - tensiune fotocurentul va trebui considerat ca având valoare negativă.

Deoarece celula fotovoltaică are structura de diode, ea va trebui să aibă o comportare asemănătoare acesteia, cand nu este iluminată (caracteristica pentru iluminarea  $E = 0$ , figura 28).

1. Strat antireflectant
2. Contact inferior
3. Suprafață fotosensibilă
4. Contact superior
5.  $\text{SiO}_2$

Fig. 26

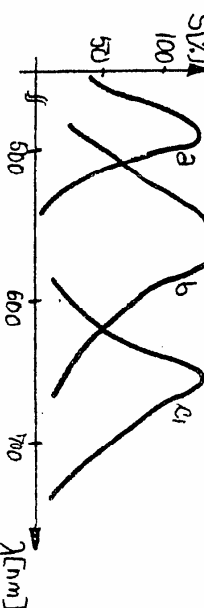


Fig. 25

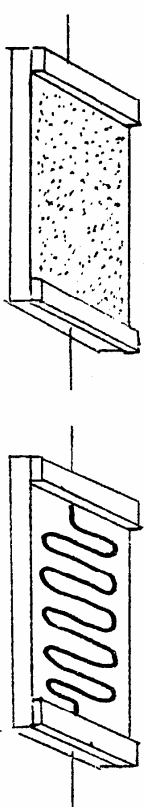
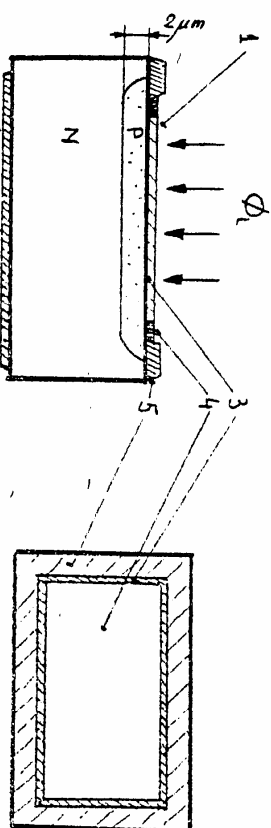
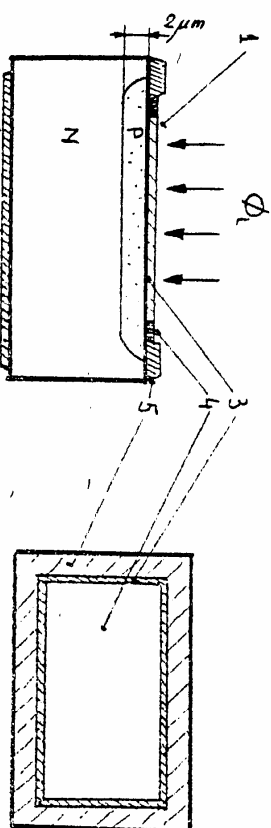


Fig. 26

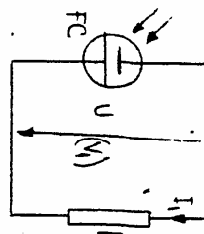
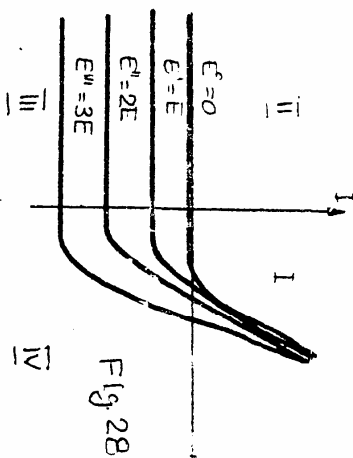


Fig. 27



Tensiunea  $V_{OC}$  este măsurată la bornele celulei fotovoltaice atunci când ea este în circuit deschis (Open Circuit Voltage) -  $V_{OC}$ .

Curentul care străbate terminala dispozitivului în timpul scurtcircuitării se numește current de scurtcircuit (Shunt current) -  $I_{SC}$ . Dacă rezistor  $R$  conectat la bornele celulei fotovoltaice prin care trece un curent  $I$  și având pe el cădere de tensiune  $V_I$ , îl va corespunde un punct de funcționare  $M$  pe figura precedenta. Se observă că:

$$R = \frac{V_I}{I} = \operatorname{tg} \alpha.$$

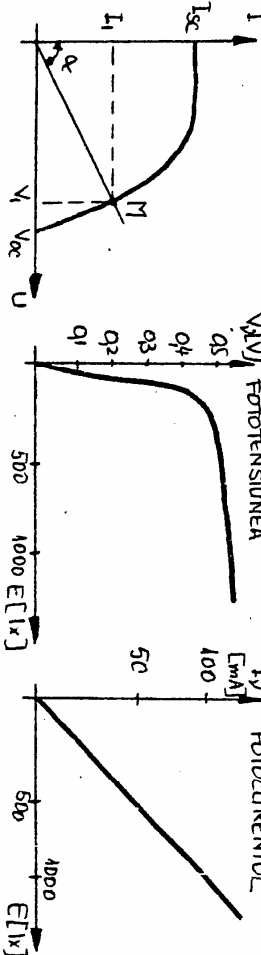


Fig. 29

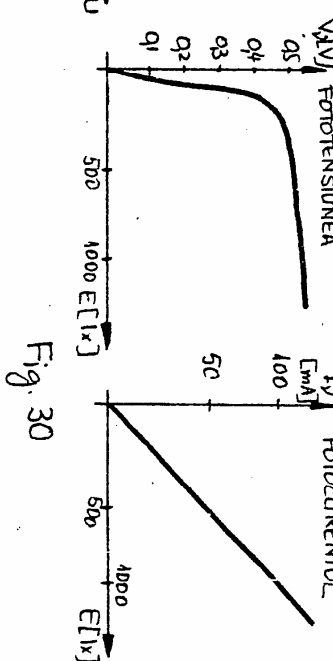


Fig. 30

Prin urmare, alegerea punctului de funcționare definește în mod echivalent valoarea rezistorului ce trebuie folosit. Cei doi parametri esențiali ai unei celule fotoelectricice  $I_{SC}$  și  $V_{OC}$  depind în mod diferit de nivelul de iluminare (figura 30). Currentul de scurtcircuit variază în mod liniar cu iluminarea, pe un domeniu foarte mare de valori ale acesteia și aproape liniar cu marimea ariei fotoaceesibile. O iluminare mai puternică va determina marirea vitezei de generare și ca urmare va conduce la creșterea numărului purtatorilor liberi care participă la curent. Valurile  $V_{OC}$  și  $I_{SC}$  depind diferit și de temperatură - creșterea temperaturii provoacă o scădere a curentului de scurtcircuit și o micșorare a tensiunii de circuit deschis. În cazul celulelor fotovoltaice cu Si scăderea este de 3 mV / grad Celsius iar creșterea  $I_{SC}$  cu 0,2 % pe grad.

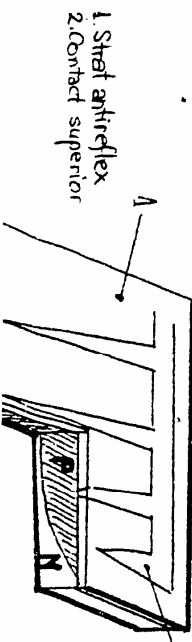
Dependentele de lungimea de undă a luminii pentru repons relativ la celulele fotovoltaice cu seleniu și siliciu sunt arătate în figura 31.

Celula scalară este destinată conversiei directă a energiei luminii solare în energie electrică. Are aria activă de ordinul centimetrelor patrati sau zecilor de centimetri patrati. Această tipă de fotocelule prezintă o joncție P - N și își bazează funcțiile pe efectul fotovoltaic. Parametrul principal este rendamentul conversiei:

$$\eta = \frac{P_{out}}{P_{in}} = \frac{V_{oc} I_{sc}}{P_{in}}$$

Fig. 31

Fig. 32



1. Strat antireflex
2. Contact superior

Fig. 33